

# تحلیل قابلیت اعتماد سد بتنی قوسی تحت بارهای ساخت مرحله‌بی و فشار هیدرولاستاتیکی با روش‌های مونت‌کارلو و سطح پاسخ

مجید پورامینیان\* (استادیار)

حسام اکوائزاد (دانشجوی کارشناسی ارشد)

گروه مهندسی عمران، واحد رامسر، دانشگاه آزاد اسلامی، رامسر، ایران

مهمشی عمان شرف، (پاییز ۱۴۰۰) دوری ۲ - ۳، شماره ۲ / ۳، ص. ۱۳۵-۱۴۰، (پادشاهت فقیه)

هدف نوشتار حاضر، ارزیابی قابلیت اعتماد سد قوسی پاکویما تحت بارهای استاتیکی با درنظر گرفتن اثر ساخت مرحله‌بی است. بارگذاری، شامل وزن سد و فشارهیدرولاستاتیک تراز نرمال بالادست است. بیشینه‌ی تنش کششی در بدنه‌ی سد به عنوان تابع خوبی در نظر گرفته شده است. سه پارامتر: تراز نرمال آب مخزن، وزن مخصوص و مدول کشسانی بتن به ترتیب با ضریب تغییرات  $5, 10$  و  $10$  درصد و توزیع نرمال به عنوان متغیرهای احتمالاتی در نظر گرفته شده است. برای ارزیابی احتمال خوبی سد از دو روش مونت‌کارلو و سطح پاسخ استفاده شده است. نتایج نشان داده است که سد پاکویما تحت بارگذاری‌های مفروض اینی بالایی دارد و در معرض ریسک خوبی نیست. همچنین مشخص شد درنظر نگرفتن اثر ساخت مرحله‌بی در تحلیل سازه منجر به خطأ در وضعیت اینی سد به ویژه در ترکیب بار وزن سد می‌شود. طبق نتایج سطح پاسخ احتمال خوبی  $9 - 10 \times 75/3 \leq p_f \leq 5/78 \times 10^{-9}$  است.

m.pouraminian@iauramsar.ac.ir  
hessam\_ekranezhad@yahoo.com

واژگان کلیدی: قابلیت اعتماد، ساخت مرحله‌بی، سد بتنی پاکویما، مونت‌کارلو، سطح پاسخ.

## ۱. مقدمه

تحلیل دقیق تر نیز توسط تحلیل احتمالاتی انجام می‌شود. در تحلیل احتمالاتی، عدم قطعیت‌های تأثیرگذار در تحلیل سازه، مانند عدم قطعیت در ویژگی‌های فیزیکی و مکانیکی مصالح بدنه و فونداسیون سد و همچنین بارهای واردہ به سد در نظر گرفته می‌شوند. تحلیل قابلیت اعتماد و ارزیابی اینی احتمالاتی از دقیق‌ترین روش‌ها برای این منظور است.

باشبولات<sup>۱</sup> و همکاران (۲۰۱۷)، سطح اینی لرزه‌بی سد قوسی بتنی درینر واقع در ترکیه که ساخت آن در سال ۲۰۱۲ به اتمام رسیده بود، را بررسی کردند. سد تحت بارگذاری شتاب‌نگاشت حوزه‌های دور و نزدیک گسل انجام شده است. حالت حدی خوبی در نظر گرفته شده، بیشینه‌ی تنش کششی نقطه‌ی از پیش تعیین شده از بدنه سد است. مقاومت کششی مصالح  $6/1$  مگاپاسکال انتخاب شده است. رفتار مصالح کشسان خطی در نظر گرفته شده است. ضریب تغییرات متغیرهای تصادفی، شامل: مدول کشسانی، چسبندگی و زاویه‌ی اصطکاک داخلی بتن و مدول کشسانی فونداسیون  $10\%$  در نظر گرفته شده است. شاخص اینی سد مطالعه شده،  $3/13$  به دست آمده است.<sup>[۲]</sup> در مدل اجزاء محدود سد درینر آثار ساخت مرحله لحاظ نشده و همچنین فقط تحت یک رکورد مشخص زلزله و فقط در یک نقطه‌ی بحرانی، تنش‌های بیشینه کنترل شده است. همچنین عدم قطعیت در فشار آب هیدرولاستاتیک لحاظ نشده است.

دبیای مهندسی، دنیای احتمالات است. با پیشرفت‌های نرم‌افزاری و سخت‌افزاری رایانه‌ها، ارزیابی سطح اینی سازه‌های موجود با دقت بیشتر و دستیابی به طرح‌های جدید مهندسی با قابلیت اعتماد بیشتری امکان‌پذیر است. آینین‌نامه‌های طراحی سازه نیز در دوره‌ی گذراز روش‌های طراحی سطح یک قابلیت اعتماد به سطوح بالاتر هستند. کاربرد قابلیت اعتماد در سازه‌ی نیروگاه ائمی که خوبی چنین سازه‌هایی منجر به فاجعه‌ی جبران‌ناپذیر می‌شود، توسط حریری اردبیلی انجام شده است.<sup>[۱]</sup> کاربرد قابلیت اعتماد سازه برای شناسایی خصوصیات ماده برای سازه‌های مکانیکی با استفاده از روش‌های مونت‌کارلو و فیلتر کالمن با استفاده از پایه‌های تابع توسط عادلی و همکاران انجام شده است.<sup>[۲]</sup> سدها نیز جزء سازه‌های مهمی هستند که خوبی آن‌ها منجر به خسارت‌های زیاد و جبران‌ناپذیری می‌شود و باید به گونه‌ی طراحی شوند که در معرض ریسک پایین خوبی باشند. به همین جهت در مطالعات و نوشتارهای زیادی به ارزیابی احتمالاتی اینی سدها پرداخته شده است.<sup>[۲۲-۲۴]</sup> عموماً ارزیابی اینی سدهای جدید و سدهای موجود تحت بارگذاری عادی استاتیکی توسط نرم‌افزارهای اجراء محدود و به طور قطعی انجام می‌کشد. ارزیابی و

\* نویسنده مسئول  
تاریخ: دریافت ۲۷، ۱۳۹۹، ۱۰/۲۰، اصلاحیه ۱۳۹۹، ۱۲/۱۷، پذیرش ۱۳۹۹، ۱۲/۱۷.

DOI:10.24200/J30.2021.56917.2871



شکل ۱. مونولیت‌ها و لیفت‌های حین ساخت.

است. [۲۰-۲۳] مطالعات دیگری در نوشتارهای علمی مرتبط با تحلیل قابلیت اعتماد سدهای بتنی وزنی و سدهای خاکی انجام شده است که به بررسی روش کار و نتایج دست یافته‌ی آن‌ها پرداخته نشده است.

در نوشتار حاضر، بالاحاظ کردن قابلیت ساخت مرحله‌یی در چرخه‌های شیوه‌سازی و مقایسه‌ی نتایج آن با حالت بدون درنظر گرفتن ساخت مرحله‌یی، اهمیت در نظر گرفتن آن در تحلیل سازه‌ی سد بتنی قوی نشان داده است. همچنین با توجه به اینکه عدم قطعیت در برآورد منابع تأثیر آب مخزن دشوار است، در نوشتار حاضر، تراز آب بالا درست سد به عنوان یکی از منابع مهم عدم قطعیت در نظر گرفته شده است. از دیگر نوآوری‌های نوشتار حاضر، به کارگری روش سطح پاسخ به عنوان روش فرامدل در تخمین احتمال خرابی با دقت حدود  $10^{-9} \times 10^{-10} = 1/2 \times 10^{-10}$ ،  $p_f$  معادل شاخص قابلیت اطمینان حدود  $5/96 \approx \beta$  است که این تعداد تکرار مدل اجراء محدود، هزینه‌ی محاسباتی بسیار زیادی خواهد داشت و سخت دست یافتنی است.

## ۲. تحلیل قابلیت اعتماد

در بخش کنونی، روش استفاده شده در تحلیل قابلیت اعتماد سد، روش مونتکارلو و نحوه‌ی محاسبه‌ی مقدار احتمال خرابی، تحلیل حساسیت پارامتر خروجی به تغییرات متغیرهای تصادفی ورودی بوده و به معرفی توابع احتمالاتی موردنیاز پرداخته شده است.

### ۱.۲. روش بار - مقاومت

در تحلیل احتمالاتی اینمی و تحلیل قابلیت اعتماد سازه‌ها، روش مدل بار - مقاومت طبق رابطه‌ی ۱، با استقبال زیادی در بین پژوهشگران مواجه شده است.  $R$  بیانگر مقاومت یک مؤلفه، عضو یا یک سیستم  $S$  نماینده‌ی تنش یا آثار بار است.

$$g(R, S) = R - S \quad (1)$$

فضای جست‌وجوی مسئله،  $(R, s)$  توسط تابع گسیختگی  $\phi(R, S) = 0$  به دو ناحیه‌ی «ایمن» و «غیرایمن» تقسیم می‌شود. عملکردهای سازه در حالت ایمن و غیرایمن به ترتیب در رابطه‌های ۲ و ۳ ارائه شده است:

$$\phi(R, S) \geq 0 \quad (2)$$

$$g(R, S) \leftarrow 0 \quad (3)$$

در شکل ۲، فضای متغیرهای تصادفی و نواحی ایمن و غیرایمن مشخص شده است. تخمین تابع حدی گسیختگی یا تابع عملکردی  $(R, S) g$  که اغلب در مسائل

چن ۲ و همکاران (۲۰۱۴)، در مطالعه‌ی تحلیل احتمالاتی لرزه‌ی سد بتنی قوی دیانگ چین، اثر بار دما لحاظ و به جای مدل سازی مخزن، از جرم متمرکز واقع در بالا درست سد به صورت جرم معادل استفاده شده است. توابع تنش بیشینه‌ی کششی و فشاری نیز به عنوان توابع حالت حدی خرابی در نظر گرفته شده‌اند. ضریب تغییرات برای مدل کشسانی بتن بدنه و فون‌داسیون،  $10\%$  و برای مقاومت کششی و فشاری بتن  $30\%$  در نظر گرفته شده است. شاخص اینمی برای هر یک از جزء‌های مدل گسیسته‌سازی جداگانه به دست آمده است. از منحنی هم تراز به دست آمده واقع بر بالا درست سد مشخص شد که شاخص اینمی در جزء‌های بالا درست بین ۱ الی  $7/96 \leq 7/96 \leq \beta^{US} \leq 5/5$  است که دست آمده است که اغلب جزء‌ها شاخصی بیش از ۶ دارند و فقط ۲۱ جزء، شاخصی کمتر از ۲ دارند که موقعیت آن‌ها در پاشنه و تکیه‌گاه سد است و به این نکته در زمان ساخت، مانیتورینگ و مقاومت‌سازی باید توجه کرد. همچنین از منحنی‌های هم تراز پایین دست مشخص است که در تمامی جزء‌ها، شاخص اینمی بین  $5/5$  تا  $6/4$  است که مؤید عبارت «مقاآمت مناسب بتن در بارگذاری فشاری» است. [۷] در مدل اجزاء محدود سد دیانگ، آثار ساخت مرحله لحاظ نشده و همچنین عدم قطعیت در فشار آب هیدرواستاتیک لحاظ نشده است.

دان فنجی ۳ و همکاران (۲۰۱۵)، طراحی بهینه‌ی شکل سد بتنی دوقویی با درنظر گرفتن قابلیت اطمینان و درنظر گرفتن بار حرارت را بررسی کرده‌اند. توزیع نرمال برای جرم مخصوص و مدل کشسانی بتن با ضریب تغییرات  $10\%$  اختصاص داده شده و احتمال گسیختگی و شاخص اینمی سد بتنی قوی با استفاده از دو روش شیوه‌سازی مونتکارلو و تحلیل قابلیت اطمینان مربوطی دوم به دست آمده است. [۹] قابلیت مدل سازی ساخت مرحله‌یی در مدل اجزاء محدود لحاظ نشده و همچنین عدم قطعیت در فشار آب هیدرواستاتیک مشاهده نشده است.

پارکویما را توسط نرم‌افزار اجزاء محدود و روش مونتکارلو بررسی و تنش کششی و تنش فشاری را به عنوان دو حالت حدی سری، در سیستم سد در نظر گرفته‌اند. همچنین به کمک روش بار - مقاومت، شاخص قابلیت اعتماد به سد پارکویما با فرض ضریب تغییرات  $15\%$  برای تمامی ۶ پارامتر تصادفی حدود ۴ به دست آمد. [۱۰] در پژوهش اخیر، مراحل ساخت مدل سازی نشده و بدليل هزینه‌ی محاسباتی، تعداد چرخه‌های شیوه‌سازی جهت ارزیابی سطح اینمی به ۵۰۰۰۰ محدود بوده و محاسبه‌ی شاخص اینمی با دقت بالایی انجام نشده است.

سدهای بتنی قوی بزرگ که با روش ساخت معمولی از بلاک‌های متعددی به نام مونولیت ساخته می‌شوند، در شکل ۱ مشاهده می‌شوند. مونولیت‌ها با درزهای قائم از هم مجزا تشکیل شده‌اند که در حین اجرای سد توسط گروت با مقاومت کششی پایین به یکدیگر متصل می‌شوند. هر کدام از مونولیت‌های گفته شده در لیفت‌های ۲ الی ۴ متری بتریزی می‌شوند. برای اخذ نتایج دقیق‌تر تحلیل اجزاء سد باید در مدل سازی آثار ساخت مرحله‌یی در نظر گرفته شود. در تحلیل اجزاء محدود سازه‌ی سد بتنی قوی، درنظر نگرفتن آثار مراحل ساخت منجر به بیشینه‌ی تنش‌های غیرواقعی در بدنه‌ی سد می‌شود. [۲۰-۲۲] با توجه به نامعین بودن بدنه‌ی سد قوی و محصور بودن پوسته‌ی سازه‌ی سد در دره‌ی رودخانه، اعمال ناگهانی نیروی وزن منجر به نتایج نادرست و تخیلی خواهد شد. زیرا سازه‌ی سد یکدفعه ساخته نمی‌شود و ساخت آن در هر مونولیت به صورت لیفت‌هایی انجام می‌پذیرد و طبیعتاً بارگذاری وزن بدنه‌ی سد به صورت یکدفعه، دور از واقعیت مدل سازی دقیق

شود. توقف نمونهگیری تا زمانی است که بیشینه‌ی خطای نسبی کمتر از آستانه‌ی تعیین شده باشد.<sup>[۲۶]</sup>

$$COV_{pf} = \sqrt{\frac{1-p_f}{N_{sim} p_f}} \quad (5)$$

### ۳.۲. تحلیل حساسیت

به میزان تأثیرگذاری ورودی‌های مسئله در پاسخ آن تحلیل حساسیت گویند. نتایج تحلیل حساسیت برای کاهش متغیرهای مسئله‌ی بهینه‌سازی یا قابلیت اعتماد و کاهش هزینه‌های محاسباتی کاربرد فراوانی دارد. در تحلیل حساسیت به روش طراحی احتمالاتی سیستم با استفاده از جعبه‌ابزار نرم‌افزار، این گام‌ها دنبال می‌شود:<sup>[۲۷]</sup>

الف) مدل سازه‌بی برنامه‌نویسی می‌شود. مدل باید قابلیت تغییر متغیرهای تصادفی مدنظر و اختصاص مشخصات آماری به آن‌ها را داشته باشد.

ب) تعریف متغیرهای تصادفی ورودی و خروجی به برنامه.

ج) انتخاب روش شبیه‌سازی و تنظیمات موردنیاز آن که در پژوهش حاضر از روش مونت‌کارلو با نمونه‌برداری ابرمکعب لاتین استفاده شده است. سطح اعتماد ۹۵٪ و سطح اهمیت ۲/۵٪ برای پژوهش حاضر در نظر گرفته شده است. به این معنی که ۵٪ از نمونه‌های با تکرارکم شبیه‌سازی شده به عنوان خطاطکنار گذاشته می‌شوند. مجموع این دو مقدار با درنظر گرفتن هر دو حد بالا و پایینی برای سطح اهمیت همیشه یک است. برای همبستگی از پیش‌فرض برنامه که رتبه‌بندی اسپیرمن است، استفاده شده است.

د) استخراج نتایج شامل نمودارهای قطاعی و میله‌بی تحلیل حساسیت و ماتریس ضرایب همبستگی.

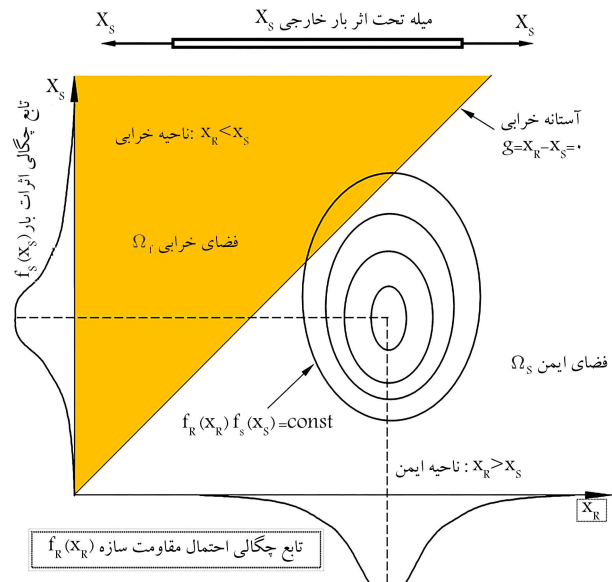
ه) اگر  $x_i$  ورودی تصادفی و  $g_i$  پارامتر خروجی باشد، به طوری که  $n$  ورودی  $i = 1, 2, \dots, n$  و خروجی  $k = 1, 2, \dots, n$  موجود باشد، متغیر  $x_{ij}$ ، متغیر  $r_{xjg}$  و  $r_{ij}$  نام برای پارامتر خروجی زام خواهد بود. همبستگی  $r_{xjg}$  بین متغیر ورودی  $x_i$  و خروجی  $g$  از طریق رابطه‌های ۶ و ۷ به دست می‌آید:

$$r_{xjg} = \frac{\sum_{i=1}^n (x_{ij} - \bar{x}_j)(g_i - \bar{g})}{\left[ \sum_{i=1}^n (x_{ij} - \bar{x}_j)^2 \right]^{1/2} \left[ \sum_{i=1}^n (g_i - \bar{g})^2 \right]^{1/2}} \quad (6)$$

$$\bar{x}_j = \sum_i \frac{x_{ij}}{n} \quad (7)$$

و همبستگی در روش رتبه‌بندی اسپیرمن نیز براساس رابطه‌ی ۸ به دست می‌آید. تعداد شبیه‌سازی مونت‌کارلو  $N_s$ ، امین تولید از مونت‌کارلو  $j_s$  و  $r_i$  مرتبه‌ی ارائه شده از متغیر تصادفی  $x_i$  است.  $m_{ij}$  جایگشت نمونه‌برداری ابرمکعب لاتین است.  $n_j$  نمونه‌ی مرتب شده حاصل جایگذاری شبیه‌سازی زام است. ضریب همبستگی اسپیرمن  $(+1 \leq r_i \leq -1)$  با مقداری نزدیک ۱، نشان‌دهنده‌ی همبستگی زیاد و حساسیت زیاد خروجی به ورودی است و مقدار ۰ آن، یعنی حساسیت کم خروجی به ورودی است.

$$r_i = 1 - \frac{6 \sum_j (m_{ji} - n_j)}{N(N-1)}; r_i \in [-1, 1] \quad (8)$$



شکل ۲. فضای متغیر تصادفی و نواحی این و غیراین.

مهندسی سازه و سازه‌های سد، پل و ساختمان شکل ضمنی دارد، نیازمند زمان زیادی برای پردازش تحلیل اجزاء محدود است و با زیادتر شدن متغیرهای تصادفی مسئله، زمان موردنیاز افزایش می‌یابد.

### ۲.۲. محاسبه‌ی احتمال خرابی به روش مونت‌کارلو

روش مونت‌کارلو در بین بسیاری از پژوهشگران در زمینه‌ی ارزیابی احتمالاتی اینمی سازه‌ها استقبال شده است. به این ترتیب که با استفاده از تقریب زدن امید ریاضی، به کمک توزیع نمونه‌ی تابعی از متغیرهای تصادفی، شبیه‌سازی صورت گرفته و روند سه مرحله‌ی، شامل تولید اعداد تصادفی بین ۰ و ۱، انتقال اعداد تصادفی به تابع توزیع تجمعی احتمال و به دست آوردن مقدار هر نمونه با استفاده از معکوس تابع تجمعی در نقطه‌ی تصادفی و با جایگذاری بردار متغیر تصادفی ایجاد شده در روند گفته شده در تابع عملکردی خرابی در هر چرخه، وضعیت اینمی سازه در آن چرخه بررسی می‌شود.<sup>[۲۸]</sup> از رابطه‌ی ۴، می‌توان احتمال خرابی را هم از تعداد توابع عملکردی با مقدار منفی در تاریخچه‌ی چرخه‌های شبیه‌سازی و یا از شاخص قابلیت اعتماد محاسبه کرد. تعداد چرخه‌های شبیه‌سازی مونت‌کارلو و  $N_g(X)$  تعداد چرخه‌های با تابع عملکردی منفی است.

$$p_f = \frac{N_g(X)}{N_{sim}} = P[g(X) < 0] \approx \Phi(-\beta) \quad (4)$$

که در آن،  $\beta$  شاخص قابلیت اطمینان است. تعداد کمینه‌ی شبیه‌سازی توصیه شده برای روش مونت‌کارلو  $\frac{1}{p_f} \approx N_{sim}$  است که در آن  $p_f^T$  احتمال خرابی هدف توصیه شده در نشریات و آینه‌نامه‌های مختلف فنی است. بنابراین تعداد شبیه‌سازی کمتر در شبیه‌سازی مونت‌کارلو باعث خطا در برآورد پاسخ که همان احتمال خرابی است، می‌شود. در ادبیات فنی مطابق رابطه‌ی ۵، ضریب تغییرات احتمال خرابی کمتر از ۱٪ را مقدار مناسبی برای کفاایت تعداد شبیه‌سازی معرفی می‌کنند. برخی نیز تعداد چرخه‌ی مطلوب را چرخه‌ی می‌شنند.  $COV(p_f) \leq 5\%$  باشد و یا به بیان دیگر، تعداد چرخه‌ی مطلوب زمانی تعیین می‌شود که مقدار  $COV(p_f)$  ثابت

## ۴.۲. توابع احتمالاتی

برای آشنایی با توابع احتمالاتی، تابع چگالی احتمال (PDF)، تابع توزیع تجمعی احتمال (CDF) و تابع قابلیت اعتماد ((S(x)) برای متغیرهای تصادفی شناخته شده است.

-- تابع چگالی احتمال (PDF): احتمال آنکه متغیر تصادفی X در بازه  $[a, b]$  واقع شود، از رابطه  $\int_a^b f(x) dx = P_r [a \leq x \leq b]$  به دست می‌آید. مساحت زیر زنگوله تابع چگالی احتمال همواره برابر ۱ است.

$$\int_a^b f(x) dx = P_r [a \leq x \leq b] \quad (4)$$

-- تابع توزیع تجمعی (CDF): تابعی غیرصفر و همنوای صعودی است که برد آن بازه  $[0, 1]$  بوده و احتمال آنکه متغیر تصادفی X مقداری کوچک‌تر از x داشته باشد، را نشان می‌دهد، یعنی:  $F_X(x) = P(X \leq x)$  از این تعریف می‌توان رابطه  $P(a < X \leq b) = F_X(b) - F_X(a)$  را نتیجه گرفت

$$P(a < X \leq b) = F_X(b) - F_X(a) \quad (5)$$

تابع توزیع تجمعی را نیز می‌توان به صورت رابطه  $S(x) = 1 - F(x)$  تعریف کرد:

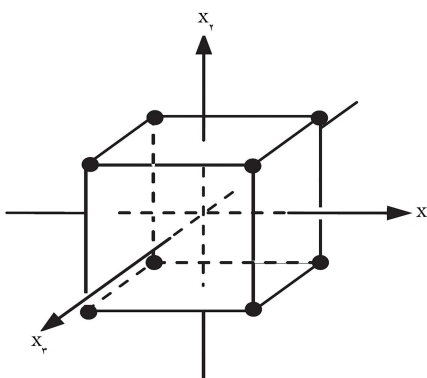
$$F_X(x) = \int_{-\infty}^x f(x) dx \quad (6)$$

-- تابع قابلیت اعتماد ((S(x))): تابع قابلیت اعتماد اغلب در کاربردهای قابلیت اعتماد استفاده می‌شود و احتمال مقدارهای بزرگ‌تر از مقدار خاص  $x$  را می‌دهد. تابع قابلیت اعتماد از ۱ شروع و به تدریج به مقدار صفر میل می‌کند و باید با مقایسه شود (رابطه  $S(x) = P_r[X > x] = 1 - F(x)$ ):

$$S(x) = P_r[X > x] = 1 - F(x) \quad (7)$$

## ۳. طراحی آزمایش‌ها

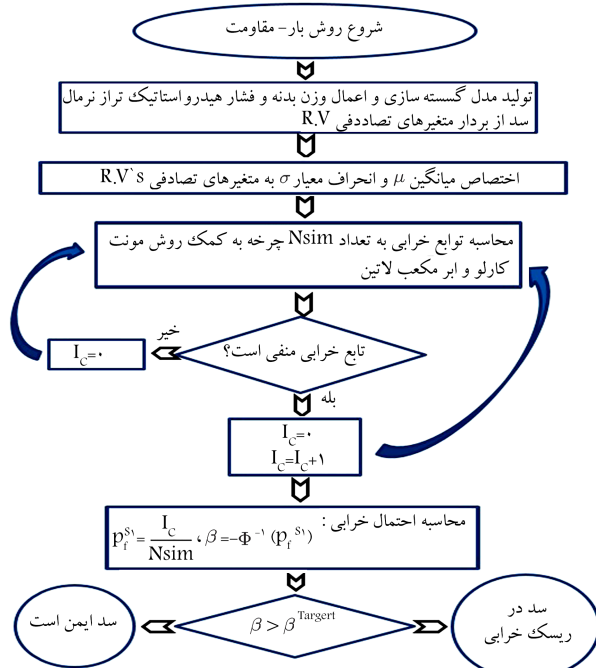
متداول‌ترین سطح پاسخ به صورت اختصاری RSM، یک مجموعه از روش‌های آماری و ریاضیات کاربردی برای ساخت مدل‌های تجربی است. هدف در طرح‌های سطح پاسخ، بهینه‌سازی پاسخ (متغیر خروجی) است که متأثر از چند متغیر مستقل (متغیرهای ورودی) است. یک آزمایش، یک سری از آزمون‌هاست که اجرا نامیده می‌شود. در هر آزمایش، تغییرات در متغیرهای ورودی به منظور تعیین علل تغییرات در متغیر پاسخ ایجاد می‌شوند. در طرح‌های سطح پاسخ، ساخت مدل‌های رویه‌ی پاسخ یک فرایند تکراری است. به محض اینکه یک مدل تقریبی به دست آمد، توسط روش نیکوبی برآش آزمون می‌شود که آیا جواب رضایت‌بخش است یا خیر؛ اگر جواب تأیید ننمود، تخمین فرایند دوباره شروع می‌شود و آزمایش‌های بیشتری انجام می‌شود. هدف در طراحی آزمایش‌ها، شناسایی و تحلیل متغیرهای مؤثر در خروجی‌ها با کمترین تعداد آزمایش است. در مواردی که هزینه‌ی محاسباتی انجام چرخه‌های شبیه‌سازی برای تحلیل‌های عددی و نرم‌افزاری میسر نباشد یا اهداف مدنظر آزمایش واقعی محدود نباشد، می‌توان با انجام طراحی آزمایش‌ها به اهداف مدنظر با تقریب دست یافت. در مسائل قابلیت اعتماد سازه‌هایی مانند سد بتقی قوسی



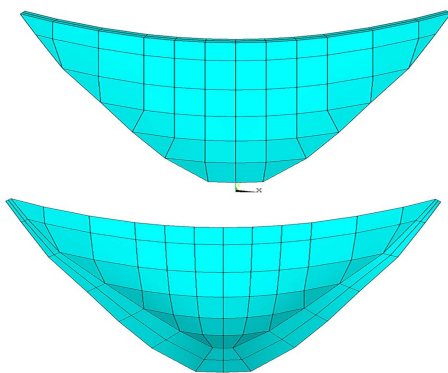
شکل ۳. روش طرح عاملی کامل.

جدول ۱. انتخاب نقاط آزمایش.

$X_3$ (EX – Dam)	$X_2$ (DEN – Dam)	$X_1$ (NWL – US)	شماره آزمایش
-k	-k	-k	DOE ۱
-k	-k	+k	DOE ۲
-k	+k	-k	DOE ۳
-k	+k	+k	DOE ۴
+k	-k	-k	DOE ۵
+k	-k	+k	DOE ۶
+k	+k	-k	DOE ۷
+k	+k	+k	DOE ۸



شکل ۵. فلوچارت محاسبه‌ی قابلیت اعتماد.



شکل ۶. تصویر بالا دست و پایین دست مدل اجزای محدود سد.

حذف یا به آن اضافه شود، توسط اختصاص ویژگی تولد و مرگ به اجراء آن بخش، قابل مدل‌سازی است. این قابلیت برای جزء‌هایی با ویژگی مرده‌ی اختصاص یافته در یک مرحله‌ی خاص از تحلیل سازه، ضربی نزدیک صفر ( $10^{-6}$ ) به ماتریس سختی جزء ضرب می‌شود. جرم، میرایی و بارهای اختصاص یافته به اجراء مرده نیز صفر در نظر گرفته می‌شوند. برای داشتن نتایج معنی دار باید گزینه‌ی تغییرشکل‌های بزرگ در تحلیل سازه فعال باشد. در شکل ۷، تعداد مراحل ساخت به صورت لایه‌های بتنی آزادی انتقالی دارد. درجه‌های آزادی انتقالی گره‌های انتهایی بدن ردیف افقی از اجزاء بدنی سد است، مدل‌سازی و تحلیل می‌شود. برای برنامه‌نویسی پروسه از قابلیت تولد و مرگ اجزاء در نرم‌افزار استفاده شده است. در مرحله‌ی اول از ساخت، تمامی جزء‌های لایه‌ی اول به صورت زنده تنظیم و اجزاء لایه‌های دوم الی پنجم به صورت مرده تنظیم می‌شوند. به همین صورت تا مرحله‌ی ششم ادامه می‌یابد. در مرحله‌ی ششم نیز تمامی جزء‌های مرده ( $10^4$ ) به صورت زنده تنظیم می‌شوند. در ترکیب بارگذاری عادی پس از اتمام مراحل ساخت (۶ مرحله که در هر مرحله یک تحلیل سازه انجام می‌شود)، هفتمنی تحلیل سازه برای بارگذاری فشار هیدرواستاتیک بالا دست در تراز نرمال انجام شده است. تحلیل ارتعاش آزاد



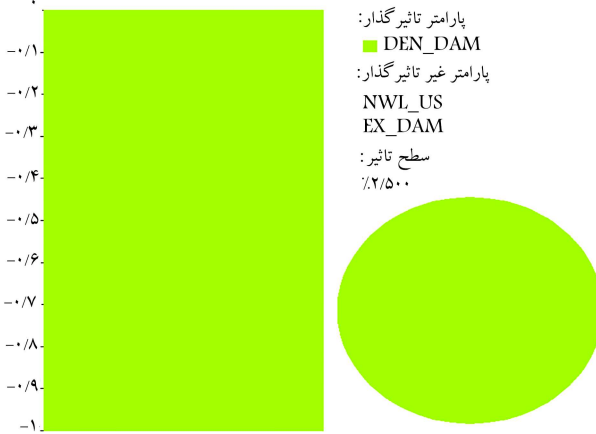
شکل ۴. تصویر هوایی از سد قوسی بتنی پاکویما.

#### ۴. مطالعه‌ی موردی: توصیف و مدل‌سازی

هدف از نوشتار حاضر، مطالعه‌ی احتمالاتی ایمنی سد بتنی قوسی در حالت حدی نهایی بیشینه‌ی تنش اصلی کششی تحت دو ترکیب بارگذاری عادی شامل بارگذاری فقط وزن بدنی سد به عنوان ترکیب بار اول و بارگذاری وزن بدنی سد و فشار هیدرواستاتیک تراز نرمال به عنوان ترکیب بار دوم در نظر گرفته شده است. در هر دو ترکیب، بار وزن بدنی سد با درنظر گرفتن تحلیل مراحل ساخت انجام گرفته است. مطابق شکل ۴، نمای سد بتنی پاکویما مشاهده می‌شود. ارتفاع و طول تاج بدنی سد مذکور به ترتیب  $113$  و  $180$  متر است. ساخت سد پاکویما در سال  $1928$  میلادی به پایان رسیده است. ضخامت بدنی سد از  $3$  متر در بالاترین تراز آن (تاج سد) الی  $30$  متر در پایین ترین ارتفاع آن (کف دره) است. در زمان طراحی، سد پاکویما فقط تحت بارگذاری عادی تحلیل و طراحی شده است. در شکل ۵، فلوچارت محاسبه‌ی قابلیت اعتماد به روش مونت‌کارلو و تحلیل مراحل ساخت از محدود مشاهده می‌شود. برای تأمین ایمنی سد، شاخص قابلیت اطمینان ( $\beta$ ) باید از مقدار شاخص قابلیت اطمینان هدف ( $\beta^{Target}$ ) بیشتر باشد.

#### ۱۰. مدل اجزاء محدود احتمالاتی

برای مصالح بتن بدنی سد، رفتار خطی کشسان در نظر گرفته شده است. در مدل‌سازی بدنی سد از روش مدل‌سازی ماکرو و همگن بودن مشخصات مکانیکی مصالح در راستاهای مختلف و از نرم‌افزار انسیس<sup>۴</sup> برای مدل اجزاء محدود استفاده شده است. از مدل‌سازی درزهای قائم بدن نیز صرف نظر شده است. در شکل ۶، مدل گسته‌سازی شده که در تحلیل اجزاء محدود در نظر گرفته شده است، مشاهده می‌شود. برای توانایی در محاسبه‌ی دقیق تر تنش در بالادست و پایین دست بدنی سد از دو لایه‌ی جزء  $8$  گره‌ی اینزپارامتریک در ضخامت استفاده شده است. هر گره، سه درجه آزادی انتقالی دارد. درجه‌های آزادی انتقالی گره‌های انتهایی بدن در محل تماس بدنی سد به جناحين و کف روختانه مقید شده است. به عبارتی در تکیه‌گاه‌های سد و کف دره، جایی که سد به زمین متصل شده است، تکیه‌گاه‌گیردار اختصاص داده شده است. تعداد جزء‌ها و گره‌های مدل گسته‌سازی به ترتیب  $104$  و  $225$  هستند (شکل ۶). ویژگی‌های مکانیکی و فیزیکی مصالح بدنی سد، شامل: مدول کشسانی بتن،  $E_C = 21/9 GPa$ ، نسبت پواسون بتن  $= 0/2 = 0.5$  و چگالی بتن  $= 2230 kg/m^3$  در مدل اجزاء محدود انتخاب شده است. نحوه‌ی تأثیر پارامتر ساخت مرحله‌ی در تحلیل سازه محدود با استفاده از قابلیت مرگ و تولد اجزاء در نرم‌افزار انسیس انجام شده است. اگر مصالحی از یک سیستم



شکل ۹. تحلیل حساسیت بیشینه‌ی تنش کششی به پارامترهای ورودی.

وزن مخصوص آب مخزن و  $h$  ارتفاع از پایه سد یا همان کف مخزن است.

$$P_{hs} = \gamma_w h^3 \quad (15)$$

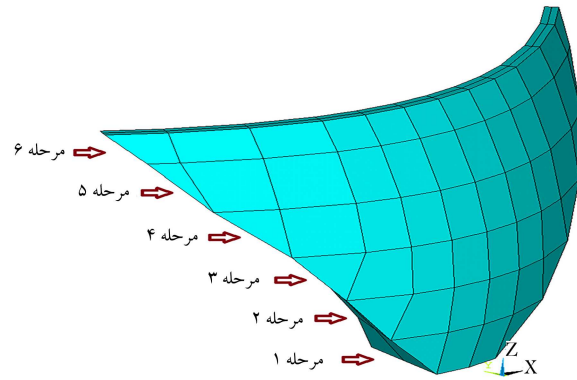
#### ۲.۴. تحلیل حساسیت

جمعیه ابزار تحلیل احتمالاتی سیستم با استفاده از روش رتبه‌بنده اسپرمن، حساسیت متغیرهای تصادفی به بیشینه‌ی تنش کششی موجود در بدنه سد را مشخص کرده است. نتایج تحلیل حساسیت ترکیب بار بحرانی  $ST(W + H)$  در شکل ۹ مشاهده می‌شود. وزن مخصوص مصالح بتن با ( $-1 = r_i$ )، تأثیرگذارترین پارامتر در بیشینه‌ی تنش کششی موجود است، به این معنی که با تغییر جزوی در وزن مخصوص بتن، بیشترین تغییرات در بیشینه‌ی تنش کششی بدنه سد ایجاد می‌شود. تغییر جزوی در پارامترهای تصادفی تراز نرمال مخزن و مدول کشسانی، تأثیر محسوسی در بیشینه‌ی تنش کششی ایجاد شده در بدنه سد ندارند.

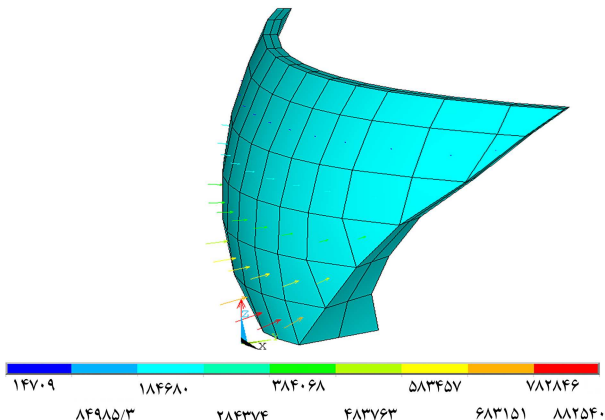
#### ۳.۴. عدم قطعیت پارامترهای مدل

تحلیل قابلیت اعتماد به کمک روش شبیه‌سازی مونت‌کارلو انجام شده است. روش مونت‌کارلو تولید  $N$  نمونه از بردار متغیرهای تصادفی  $X$  را به منظور ارزیابی تابع خرابی ( $x$ )<sup>g</sup> می‌دهد. روش لاتین هایپرکیوب<sup>۵</sup> برای نمونه‌گیری استفاده شده است. به منظور تحلیل احتمالاتی لازم است در ابتدا پارامترهای مقاومتی و حالت های بار تعریف شوند. در تحلیل احتمالاتی از توزیع احتمالاتی که طبق مراجع مختلف متداول بوده و برآش بهتری برای تابع چگالی احتمال متغیرهای ورودی داشته باشد، انتخاب واژ تابع توزیع گاوس نرمال ( $N$ ) استفاده شده است. برای تراز آب بالادست از توزیع نرمال محدود شده ( $TN$ ) از بالا در نظر گرفته شده است. برای تولید متغیرهای تصادفی با توزیعهای ذکر شده، نیاز به تعریف مقدار میانگین و انحراف معیار برای متغیرهای تصادفی است. در جدول ۲، مشخصات آماری متغیر، شامل: مقدار میانگین، انحراف معیار و ضریب تغییرات ارائه شده است. در صورتی که داده‌های آزمایشگاهی برای سایت خاصی در دسترس نباشند، خصوصیات آماری مانند شکل تابع توزیع و مقدار ضریب تغییرات موجود در منابع پژوهشی مشابه استفاده می‌شود.<sup>[۲۹]</sup> مقدار تنش کششی مجاز مصالح با استفاده از رابطه‌ی ۱۶ محاسبه شده است.

$$f_t = \frac{1}{324} f_c^{2/3} \quad (16)$$



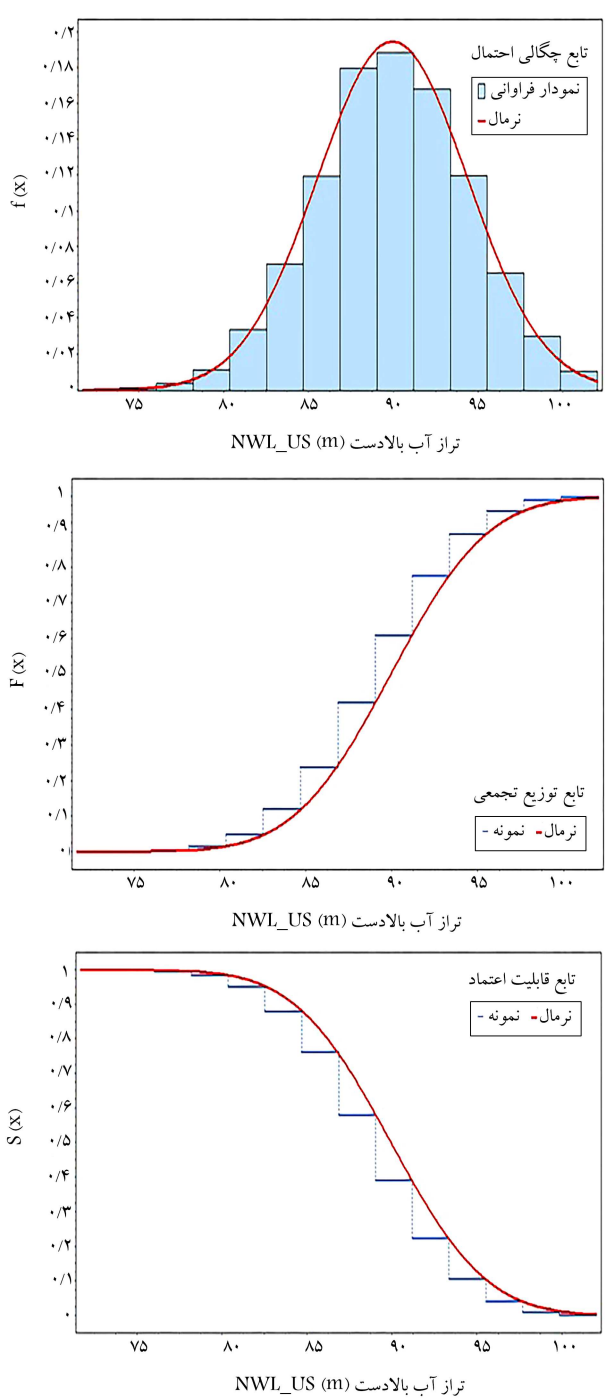
شکل ۷. مراحل ساخت مدل اجزاء محدود.



شکل ۸. فشار آب هیدرواستاتیک بالادست.

به منظور صحبت‌سنگی مدل اجزاء محدود انجام شده است. بسامد مود ارتعاشی اصلی با نسبت میرایی  $5\%$  برابر  $z_f = 5/42 Hz$  باشد. این مقدار با بسامد  $z_f = 5/35 Hz$  مطابق میرایی  $7\%$  را دارد.<sup>[۱۸]</sup>

جهت بهکارگیری روند تحلیل احتمالاتی اینمی سد بتقی قوسی لازم است که قبل از متفاوتی تصادفی تعریف و خصوصیات آماری مربوط به آنها اختصاص داده شوند. برای تعریف و اختصاص پارامترهای متغیرهای تصادفی می‌توان از اطلاعات موجود در نوشتارهای علمی و یا از مشاهده‌های آزمایشگاهی استفاده کرد. وزن مخصوص مصالح بتن بدنه و تراز نرمال آب مخزن در بالادست سد پارامترهای هستند که به مدل اجزاء محدود سازه اعمال می‌شوند و باید به صورت پارامترهای تصادفی تعریف شوند. همچنین عمدی ویژگی‌های معرف مقاومت سد، شامل: مدل کشسانی بتن، تنش مجاز کششی و فشاری بتن و نسبت پواسون بتن هستند. ویژگی‌های فیزیکی و مکانیکی بتن نشان داده شده در چرخه‌های تحلیل اجزاء محدود به طور تصادفی تولید و بهکارگرفته می‌شوند. محور مختصات نیز در تراز کف رودخانه نشان داده شده است. محور  $Y$  در جهت رودخانه و محور  $X$  عمود بر رودخانه و محور  $Z$  راستای قائم را نشان می‌دهد. ارتفاع مدل اجزاء محدود با ساده‌سازی شکل دره و جناحین،  $102$  متر درنظر گرفته شده است. در شکل ۸، شرایط مرزی، بهکارگذاری هیدرواستاتیک مخزن، و شتاب گفل مدل اجزاء محدود مشاهده می‌شود. بیشترین فشار، در پایه سد و فشار صفر، در تراز نرمال مخزن است. در هر نقطه، بردار فشار هیدرواستاتیک عمود بر سطح جزء در بالادست است. مقدار فشار در ارتفاع مطابق رابطه‌ی ۱۵ محاسبه شده است که



شکل ۱۰. توابع احتمالاتی متغیرهای تصادفی ورودی: تراز آب بالادست.

است. از نمودار قابلیت اعتماد نیز می‌توان مشاهده کرد که احتمال اینکه بیشینه‌ی تنش کششی بتن بیشتر از  $1/25$  مگاپاسکال باشد، صفر است. با توجه به بیشینه‌ی تنش کششی موجود مشاهده شده و مقدار تنش کششی مجاز بتن سد پاکویما می‌توان گفت در  $20/000$  چرخه‌ی انجام شده، هیچ خرابی تجربه نخواهد شد و (انجام چرخه‌های شبیه‌سازی با تعداد بیشتر)، می‌توان به مقادیر کوچک‌تر احتمال خرابی و مقادیر بزرگ‌تر شاخص قابلیت اطمینان دست یافت.

در شکل ۱۲، توابع آماری تابع عملکردی خرابی که مربوط به بیشینه‌ی تنش

جدول ۲. ویژگی‌های احتمالاتی متغیرهای تصادفی و بتن.

متغیر تصادفی	توزیع آماری	ضریب تعییرات	مراجع
$COV.$	$Dist(\mu, \sigma)$	$X_i$	
[۶, ۷, ۱۵, ۳۰, ۳۱]	۰/۱	$N(21/9, 2/19)$	$E_C (GPa)$
[۳, ۱۶]	۰/۱	$N(2230, 223)$	$\rho (kg/m^3)$
[۲۲, ۳۱]	۰/۰۵	$TN(90, 4/5, 102)$	$NWL(m)$
[۲۰]	-	$23/39$	$f'_c (MPa)$
[۲۰]	-	$2/65$	$f_t (MPa)$

که در آن،  $f'_c$  مقاومت فشاری تک محوری بتن و  $f_t$  مقاومت مجاز کششی تک محوری بتن هستند که برای سد پاکویما به ترتیب برابر  $23/39$  و  $2/65$  مگاپاسکال به دست آمده است. در برنامه‌ی نوشته شده، بیشترین تنش اصلی اول در بدنی سد در هر چرخه‌ی شبیه‌سازی به عنوان بیشینه‌ی تنش کششی موجود ذخیره شده و در چرخه‌هایی از شبیه‌سازی، که این مقدار از  $f_t$  فراتر رود، یک تجربه از شکست (ب) ثبت و به شمارشگر  $I_c$  یک عدد افزوده می‌شود.

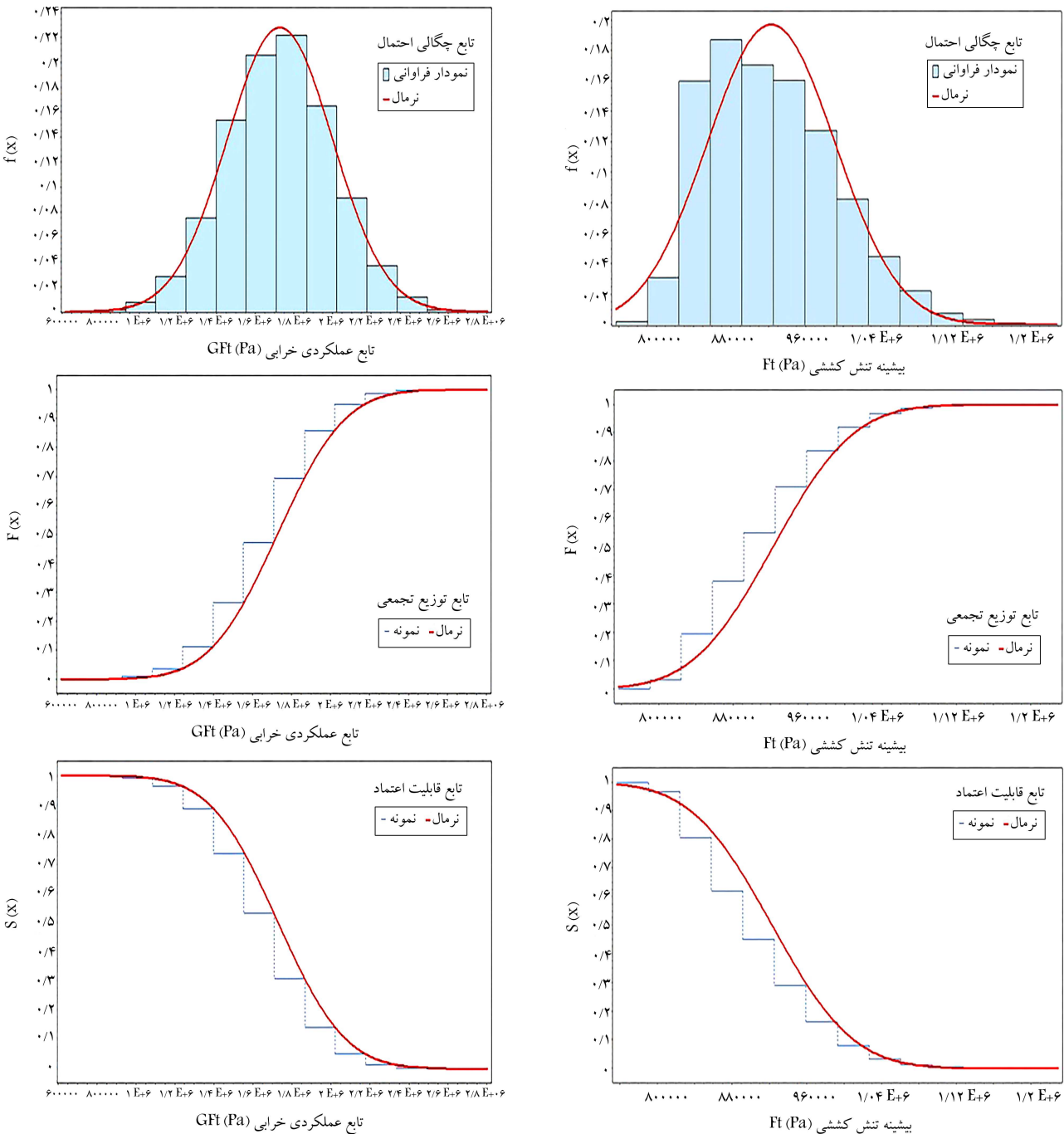
#### ۴.۴. توابع آماری متغیرهای تصادفی

در شکل ۱۰، توابع آماری تراز نرمال آب بالادست مشاهده می‌شود. تابع چگالی احتمال تراز بالادست با میانگین  $90$  متر و انحراف معیار  $5/4$  متر بوده است. احتمال اینکه تراز آب  $90$  متر (مقدار میانگین) باشد،  $50\%$  است. مقدار کمینه و بیشینه‌ی تولید شده به ترتیب حدود  $75$  و  $102$  متر هستند. نمودار توزیع تجمعی نشان می‌دهد احتمال اینکه تراز آب کمتر از  $102$  متر باشد،  $100\%$  است؛ به عبارتی، تمامی نمونه‌های تولید شده تراز بالادست کمتر از  $102$  متر هستند. از نمودار قابلیت اعتماد نیز می‌توان مشاهده کرد که احتمال اینکه تراز آب بالادست بیشتر از  $102$  متر باشد، صفر است.

نتایج توابع آماری وزن مخصوص بتن نشان داد تابع چگالی احتمال وزن مخصوص بتن با میانگین  $2230$  کیلوگرم بر مترمکعب و انحراف معیار  $223$  کیلوگرم بر مترمکعب است. احتمال اینکه وزن مخصوص بتن  $2230$  کیلوگرم بر مترمکعب (مقدار میانگین) باشد،  $50\%$  است. مقدار کمینه و بیشینه‌ی تولید شده به ترتیب حدود  $1400$  و  $3000$  کیلوگرم بر مترمکعب هستند.

نتایج توابع آماری مدول کشسانی بتن نشان داد تابع چگالی احتمال مدول کشسانی بتن با میانگین  $21/9$  گیگاپاسکال و انحراف معیار  $2/19$  گیگاپاسکال است. احتمال اینکه مدول کشسانی بتن  $21/9$  گیگاپاسکال (مقدار میانگین) باشد،  $50\%$  است. مقدار کمینه و بیشینه‌ی تولید شده به ترتیب حدود  $1/4$  و  $3$  گیگاپاسکال هستند.

مقادیر پارامترهای خروجی تصادفی به صورت خودکار در نرم افزار اجراء محدود تولید شده است که توابع آماری آن‌ها در ادامه ارائه شده است. در شکل ۱۱، توابع آماری بیشینه‌ی تنش اصلی بتن مشاهده می‌شود. تابع چگالی احتمال بیشینه‌ی تنش کششی بتن با میانگین  $922$  مگاپاسکال و انحراف معیار  $5/068$  مگاپاسکال است. احتمال اینکه بیشینه‌ی تنش کششی بتن  $922$  مگاپاسکال (مقدار میانگین) باشد،  $50\%$  است. مقدار کمینه و بیشینه‌ی تنش کششی شده نیز به ترتیب حدود  $0/67$  و  $1/25$  مگاپاسکال هستند. نمودار توزیع تجمعی نشان می‌دهد احتمال اینکه بیشینه‌ی تنش کششی بتن کمتر از  $1/25$  مگاپاسکال باشد،  $100\%$  است. به عبارتی در تمامی نمونه‌های به دست آمده، بیشینه‌ی تنش کششی بتن کمتر از  $1/25$  مگاپاسکال بوده

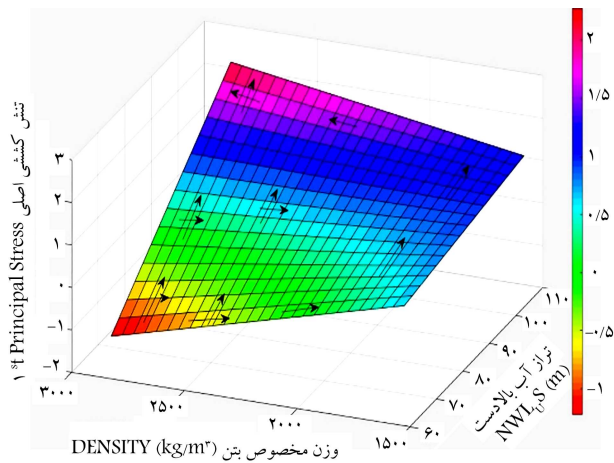


شکل ۱۲. توابع احتمالاتی متغیر تصادفی خروجی: تابع عملکردی بیشینه‌ی تنش.

تعداد بیشتر، می‌توان به مقادیر کوچک‌تر احتمال خرابی و مقادیر بزرگ‌تر شاخص قابلیت اطمینان دست یافت و ممکن است تابع عملکردی منفی ایجاد شود. شاخص قابلیت اطمینان هدف سالیانه برای سدها باید دست‌کم  $\frac{4}{2} \geq 4/2$  باشد ( $\beta^{Target} \geq 4/2$ )<sup>[۲۴, ۲۰, ۱۶]</sup>. برای تعیین مقدار آخر از شاخص قابلیت اطمینان، دست‌کم  $100000$  تکرار شبیه‌سازی لازم است که با استفاده از روش سطح پاسخ، هزینه‌ی محاسباتی کمتری نیاز است. در صورتی که تعیین سطح ایمنی لرزه‌بی سد مدنظر باشد، کمینه‌ی شاخص قابلیت اطمینان سالیانه حدود  $1/55$  لازم است ( $\beta^{Target} \geq 1/55$ )<sup>[۲۵]</sup>. سطح ایمنی موردنیاز در تحلیل استاتیکی سدهای بتی قوسی در برخی منابع<sup>[۲۶, ۲۲, ۲۵]</sup> ارائه شده است. سطح ایمنی لازم برای سازه‌های

شکل ۱۱. توابع احتمالاتی متغیر تصادفی خروجی: بیشینه‌ی تنش کششی بدنه.

کششی بدنه است، مشاهده می‌شود. تابع چگالی احتمال تابع عملکردی، میانگین  $1/73$  مگاپاسکال و انحراف معیار  $27/0$  مگاپاسکال دارد. احتمال اینکه تابع عملکردی خرابی بدنه  $1/73$  مگاپاسکال (مقدار میانگین) باشد،  $50\%$  است. مقدار کمینه و بیشینه‌ی تولید شده به ترتیب حدود  $62/0$  و  $8/2$  مگاپاسکال هستند. نمودار توزع جمیعی نشان می‌دهد احتمال اینکه تابع خرابی کمتر از  $0$  باشد،  $0\%$  است؛ به عبارتی، تمامی نمونه‌های به دست آمدی تابع عملکردی خرابی، مقادیر مشتبثی دارند. با توجه به مقادیر مشبت تابع عملکردی می‌توان گفت در  $20000$  چرخه‌ی انجام شده، هیچ خرابی تجربه نخواهد شد و  $p_f = 5 \times 10^{-5}$  است. در صورت قبول هزینه‌ی محاسباتی بیشتر (انجام چرخه‌های شبیه‌سازی با



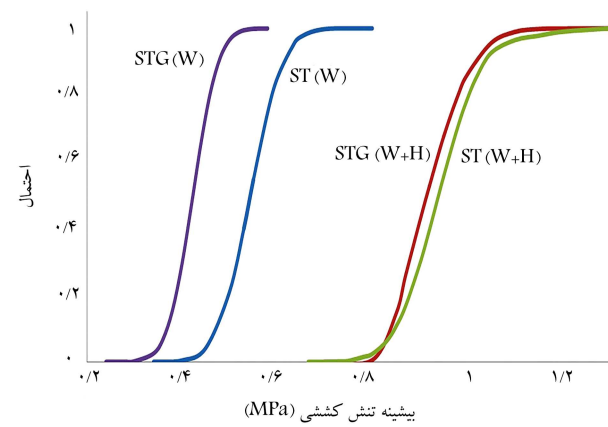
شکل ۱۴. رویه‌ی تنش کششی وابسته به متغیرهای تراز مخزن و جرم بتن.

(فاکتوریل)، که نوعی آزمایش طراحی است، استفاده شده است. با توجه به تعداد متغیرهای تصادفی  $n = 3$ ، تعداد  $8$  طراحی آزمایش ( $N_{DOE} = 2^n = 2^3 = 8$ ) تولید شده است. در جدول ۱، نقاط طراحی با ماتریس آزمایش‌های طراحی ارائه شده است. حدود متغیرهای تصادفی  $X_1 \leq 2453, 85/5 \leq X_2 \leq 2407, 200/7 \leq X_3 \leq 24/09$  و  $94/5 \leq X_4 \leq 24/09$  در نظر گرفته شده است. در رابطه‌ی  $17$ ، تابع تخمین بیشینه‌ی تنش کششی بر حسب متغیرهای تصادفی سد و رویه‌ی غیرمسطح آن در شکل ۱۴ ارائه شده است. ضریب جملات مرتبه‌ی دوم  $NWL * EX$  و  $DEN * EX$  صفر به دست آمده است. طبق نتایج آزمایش‌های طراحی احتمال خرابی و شاخص قابلیت اعتماد برای سد پاکویما به ترتیب  $p_f \approx 2/52 \times 10^{-7}$  و  $\beta \approx 5/02$  به دست آمده است. در صورتی که مقدار تنش کششی مجاز به میانگین تنش کششی مجاز منهای  $3$  برابر انحراف معیار محدود شود، آنگاه در  $200$  میلیون تکرار، احتمال خرابی و شاخص قابلیت اعتماد به ترتیب  $p_f \approx 1 \times 10^{-4}$  و  $\beta \approx 3/72$  به دست می‌آید. همچنین در صورتی که مقدار تنش کششی مجاز به میانگین تنش کششی مجاز منهای  $2$  برابر انحراف معیار محدود شود، آنگاه در  $600$  میلیون تکرار، احتمال خرابی و شاخص قابلیت اعتماد به ترتیب  $p_f \approx 3/6 \times 10^{-6}$  و  $\beta \approx 4/49$  به دست می‌آید. اگر مقدار تنش کششی مجاز  $1$  تنش فشاری مجاز در نظر گرفته شود، آنگاه در  $800$  میلیون تکرار، احتمال خرابی و شاخص قابلیت اعتماد به ترتیب  $p_f \approx 1/14 \times 10^{-7}$  و  $\beta \approx 5/16$  به دست می‌آید که در جدول ۳ ارائه شده است.

$$Y^{exp} = 6/9 - 0/0046 NWL - 0/0046 DEN \dots + 0/00005 NWL * DEN \quad (17)$$

## ۵. نتیجه‌گیری

هدف از نوشتار حاضر، بررسی احتمالاتی وضعیت ایمنی سد بتُنی قوسی پاکویما با درنظر گرفتن مراحل ساخت در تحلیل سازه می‌باشد. مدل سه‌بعدی ایجاد شده، قابلیت فرآخوانی خودکار توسط برنامه و تغییر متغیرهای تصادفی را دارد. متغیرهای تصادفی، شامل: ارتفاع فشار هیدرولاستاتیک تراز نرمال بالادست، وزن مخصوص بتن، و مدول کشسانی بتن با ضریب تغییرات  $5$ ،  $10$  و  $15$  درصد است. شکل توزیع نرمال محدود شده از بالا، نرمال و برای متغیرها نیز نرمال در نظر گرفته شده است. ترکیب بار، شامل



شکل ۱۳. منحنی‌های شکنندگی.

با اهمیت زیاد، مانند سدهای بتُنی نیز در برخی منابع دیگر<sup>[۳۸,۳۷]</sup> ارائه شده است.

## ۴.۵. منحنی‌های شکنندگی

در ادامه، با استفاده از متغیر تصادفی خروجی بیشینه‌ی تنش، تابع توزیع تجمعی بیشینه‌ی تنش کششی به دست آمده است. برای مقایسه‌ی تأثیر درنظر گرفتن مراحل ساخت در تحلیل سازه، منحنی‌های شکنندگی برای دو ترکیب بارگذاری وزن بدنه‌ی سد (STG(W)) و دیگری وزن بدنه‌ی سد به همراه فشار هیدرولاستاتیک تراز نرمال (STG(W+H)) در شکل ۱۳ مشاهده می‌شود. همین ترکیب بار برای تحلیل سازه بدون درنظر گرفتن مراحل ساخت به صورت استاتیکی فقط با نام‌های (ST(W+H)) و (ST(W)) نیز انجام شده است. مشاهده می‌شود که درنظر نگرفتن مراحل ساخت در تحلیل سازه منجر به نتایج همراه با خطأ در منحنی‌های شکنندگی به ویژه در ترکیب بار اول (وزن سد) شده و در ترکیب بار دوم (وزن سد به همراه فشار هیدرولاستاتیکی)، خطای کمتری رخ داده است. در ترکیب بار (STG(W)), بیشینه‌ی تنش کششی موجود در بدنه‌ی سد بین  $0/52 \sim 0/32$  مگاپاسکال بوده است، در حالی که در ترکیب بار (ST(W)) مقادیر بین  $0/43 \sim 0/40$  مگاپاسکال داشته است. با توجه به اینکه مقادیر بیشینه‌ی تنش کششی ترکیب بار (STG(W)) مقادیر دقیق‌تری ارائه می‌دهد، می‌توان گفت درنظر نگرفتن مراحل ساخت در مدل تحلیل سازه منجر به خطای بالای بیشینه‌ی تنش شده است. به عنوان مثال، احتمال رخداد بیشینه‌ی تنش کششی در ترکیب بار (STG(W)) برابر  $0/43$  مگاپاسکال و در (ST(W)) برابر  $0/56$  مگاپاسکال با  $30\%$  خطأ در تنش مشاهده شده است.

در ترکیب بارهای (ST(W+H)) و (STG(W+H)) که تقریباً مقادیر بیشینه‌ی تنش در بازه‌ی  $1/1 \sim 0/8$  مگاپاسکال قرار دارد و درنظر نگرفتن مراحل ساخت در مدل تحلیل سازه همچنان منجر به تنش‌های غیرواقعی بزرگ‌تری شده است، اما در قیاس با ترکیب بار اول، خطای مذکور کمتر است. در هر صورت باری هر دو ترکیب بار، سد پاکویما این است و مقدار تنش مجاز کششی  $2/65$  مگاپاسکال را تجربه نکرده است.

## ۶.۴. فرآمدل سطح پاسخ خطی

برای دستیابی به مقادیر احتمال خرابی کوچکتر از  $5 \times 10^{-5}$  و شاخص ایمنی بزرگ‌تر از  $3/89 = \beta$  بدون قبول هزینه‌ی محاسباتی زیاد از روش طرح عاملی کامل

جدول ۳. نتایج تحلیل قابلیت اعتماد به روش سطح پاسخ.

$Cov_{pf}$	$\beta$	احتمال خرابی $p_f$	تعداد چرخه $N_{sim.} (\times 10^4)$	تنش $f'_t$	تنش کششی مجاز $f'_t = f_t - k\sigma$
۰/۷۱	۳/۷۲	$1/00 \times 10^{-4}$	۲۰۰	۱/۸۵	$k = ۳$
۲/۱۵	۴/۴۹	$2/63 \times 10^{-6}$	۶۰۰	۲/۱۲	$k = ۲$
۷/۰۴	۵/۰۲	$2/52 \times 10^{-7}$	۸۰۰	۲/۲۳	$f_t = ۰/\sqrt{f_c}$
۱۰/۴۹	۵/۱۶	$1/14 \times 10^{-7}$	۸۰۰	۲/۲۸	$k = ۱$
۰/۵۸	۵/۷۸	$2/75 \times 10^{-9}$	۸۰۰	۲/۶۵	$f_t(k = ۰)$

و  $۰/۵ \leq \beta$  است. به طورکلی نتایج نشان داده‌اند که در برابر بارگذاری استاتیکی وزن سد و فشار هیدرواستاتیک تراز نرمال، وضعیت اینمی سد مناسب و ریسک خرابی آن بسیار کم بوده است. همچنین مشخص شد در نظر نگرفتن مراحل ساخت منجر به خطا در پاسخ برآورده تنش شده است، که این خطا در ترکیب بار وزن بدنه خیلی بیشتر از ترکیب بار وزن سد به همراه فشار هیدرواستاتیک بوده است. روش ارائه شده در نوشتار حاضر می‌تواند مورد استفاده‌ی طراحان و طراحان سدهای بتونی قرار گیرد و با بررسی وضعیت احتمالاتی اینمی سدهای موجود یا سدهای جدید به طرح این تر و قابل اطمینان‌تری دست یابند.

وزن سد و وزن سد به همراه فشار هیدرواستاتیک در تراز نرمال بالا دست بوده است. با استفاده از روش شبیه‌سازی مونت‌کارلو و نرم‌افزار اجراء محدود در تعداد ۲۰۰۰۰ چرخه‌ی شبیه‌سازی، مقدار احتمال خرابی و شاخص قابلیت اعتماد سد به دست آمده است. نتایج نشان داد که هیچ خرابی تجربه نشده و  $5 \times 10^{-5} \leq p_f \leq ۰/۵$  و  $۳/۸۹ \geq \beta$  بوده است. برای دستیابی به مقادیر دقیق تر احتمال خرابی و شاخص اینمی لازم است که تعداد چرخه‌های بیشتری اجرا شود، که به دلیل غیرکاربردی بودن چرخه‌های اجرای اجراء محدود از آزمایش‌های طراحی و روش طرح عاملی  $p_f \simeq ۰/۵2 \times 10^{-7}$  است. نتایج نشان داد که  $f_t(k = ۰) \simeq ۲/۵۲$ .

## پانوشت‌ها

1. Basbolat
2. Chen
3. Fengjie
4. ANSYS
5. Latin Hypercube

## منابع (References)

1. Hariri-Ardebili, M.A. "Safety and reliability assessment of heterogeneous concrete components in nuclear structures", *Reliability Engineering & System Safety*, **203**, 107104 (Nov., 2020).
2. Adeli, E., Rosic, B, Matthies HG. and et al. "Comparison of Bayesian methods on parameter identification for a viscoplastic model with damage", *Metals*, **10**(7), p. 876 (Jul., 2020).
3. Adeli, E., Rosic, B, Matthies HG. and et al. "Bayesian Parameter Determination of a CT-Test described by a Viscoplastic-Damage Model considering the Model Error", *Metals*, **10**(9), 18 p. (Sep., 2020).
4. Altarejos-Garcia, L., Escuder-Bueno, I., Serrano-Lombillo, A. and et al. "Factor of safety and probability of failure in concrete dams", *Risk Analysis, Dam Safety, Dam Security and Critical Infrastructure Management*, pp. 251-256, CRC press: Boca Raton, FL, USA (2012).
5. Altarejos-Garcia, L., Escuder-Bueno, I., Serrano-Lombillo, A and et al. "Methodology for estimating the probability of failure by sliding in concrete gravity dams in the context of risk analysis", *Structural Safety*, 36-37, pp. 1-13 (2012).
6. Başbolat, E.E. and Bayraktar, A. "Seismic reliability analysis of high concrete arch dams under near-fault effect", *4th International Conference on Earthquake Engineering and Seismology*, Eskisehir, Turkey (2017).
7. Chen, H., Xu, W., Wu, Q. and et al. "Reliability analysis of arch dam subjected to seismic loads", *Arabian Journal for Science and Engineering*, **39**(11), pp. 7609-7619 (2014).
8. de Araújo, J. and Awruch, A.M. "Probabilistic finite element analysis of concrete gravity dams", *Advances in Engineering Software*, **29**(2), pp. 97-104 (1998).
9. Fengjie, T., Lahmer, T. and Siddappa, M.G. "Section optimization and reliability analysis of arch-type dams including coupled mechanical-thermal and hydraulic fields", *Applications of Computer Science and Mathematics in Architecture and Civil Engineering*, pp. 186-193 (2015).
10. Gavabar, S.G. and Alembagheri, M. "Structural demand hazard analysis of jointed gravity dam in view of earthquake uncertainty", *KSCE Journal of Civil Engineering*, **22**(10), pp. 3972-3979 (Oct., 2018).
11. Ganji, H.T., Alembagheri, M. and Khaneghahi, M.H. "Evaluation of seismic reliability of gravity dam-reservoir inhomogeneous foundation coupled system", *Frontiers of Structural and Civil Engineering*, **13**(3), pp. 701-715 (Jun., 2019).

12. Goldgruber, M., Lampert, R. and Hinterdorfer, D. "Risk analysis- assessment of reliability for concrete dams", Presented at the 14th ICOLD International Benchmark Workshop in Stockholm (2017).
13. Hariri-Ardebili, M.A. "Risk, Reliability, Resilience (R3) and beyond in dam engineering: A state-of-the-art review", *International Journal of Disaster Risk Reduction*, **31**, pp. 806-831 (Oct., 2018).
14. Hariri-Ardebili, M.A. and Pourkamali-Anaraki, F. "Simplified reliability analysis of multi hazard risk in gravity dams via machine learning techniques", *Archives of Civil and Mechanical Engineering*, **18**(2), pp. 592-610 (Jun., 2018).
15. Hovde, E., Engseth, M., Konow, T. and Kristiansen S.A. "Probabilistic analysis of a gravity dam in Norway A new approach to dam safety in Norway", ICOLD2017 (2017).
16. Kartal, M.E., Basaga, H.B., Bayraktar, A. and et al. "Probabilistic nonlinear analysis of CFR dams by MCS using response surface method", *Applied Mathematical Modelling*, **35**(6), pp. 2752-2770 (2011).
17. Khaneghahi, M.H., Alembagheri, M. and Soltani, N. "Reliability and variance-based sensitivity analysis of arch dams during construction and reservoir impoundment", *Frontiers of Structural and Civil Engineering*, **13**(3), pp. 526-541 (June, 2019).
18. MiarNaeimi, F., Azizyan, G. and Akbari, G. "Performance evaluation of monte carlo simulation and form method to calculate probability of failure for concrete gravity dams in sliding failure mode under static loading", *Modares Civil Engineering Journal*, **16**(3), pp. 227-240 (Oct., 2016).
19. Pouraminian, M., Pourbakhshian, S. and Farsangi, E.N. "Reliability assessment and sensitivity analysis of concrete gravity dams by considering uncertainty in reservoir water levels and dam body materials", *Civil and Environmental Engineering Reports*, **30**(1), pp. 1-7 (Mar., 2020).
20. Pouraminian, M., Pourbakhshian, S., Farsangi, E.N. and Fotoukian, R. "Probabilistic safety evaluation of a concrete arch dam based on finite element modeling and a reliability L-R approach", *Civil and Environmental Engineering Reports*, **29**(4), pp. 62-78 (Dec., 2019).
21. Rivero, R. and Gigliotti, R. "Use of metamodels in uncertainty analysis of concrete arch dams", Ph.D. thesis, Sapienza University of Rome (2019).
22. Zaccari, E. and Molina, J.L. "Reviewing arch-dams' building risk reduction through a sustainability-safety management approach", *Sustainability*, **12**(1), p. 392 (Jan., 2020).
23. Pourbakhshian, S. and Ghaemian, M. "Investigating stage construction in high concrete arch dams", *Indian Journal of Science and Technology*, **8**(14), pp. 1-4 (Jul., 2015).
24. Federal Energy Regulatory Commission, "Engineering guidelines for the evaluation of hydropower projects", Chapter 11: Arch Dams, Washington, D.C. (1999).
25. Pouraminian, M. and Ghaemian, M. "Multi-criteria optimization of concrete arch dams", *Scientia Iranica, Transaction A, Civil Engineering*, **24**(4), pp. 1810-1820 (Aug., 2017).
26. Grooteman, F. "An adaptive directional importance sampling method for structural reliability", *Probabilistic Engineering Mechanics*, **26**(2), pp. 134-141 (2011).
27. Reh, S., Beley, J.D., Mukherjee, S. and et al. "Probabilistic finite element analysis using ANSYS", *Structural Safety*, **28**(1-2), pp. 17-43 (2006).
28. Tarinejad, R., Pourgholi, M. and Yaghmaei-Sabegh, S. "System identification of arch dams using balanced stochastic subspace identification", *Modares Civil Engineering Journal*, **17**(1), pp. 53-64 (May, 2017).
29. Andreini, M., De Falco, A., Marmo, G. and et al. "Modelling issues in the structural analysis of existing concrete gravity dams", In *Proceedings of the 85th ICOLD Annual Meeting, Prague, Czech Republic*, pp. 3-7 (2017).
30. Xu, Q., Chen, J. and Li, J. "A study on the functional reliability of gravity dam", *Energy and Power Engineering*, **4**(2), pp. 59-66 (2012).
31. Fengjie, T. and Lahmer, T. "Shape optimization based design of arch-type dams under uncertainties", *Engineering Optimization*, **50**(9), pp. 1470-1482 (2018).
32. Pouraminian, M. and Pourbakhshian, S. "Shape optimization of concrete arch dams with SPSA algorithm and post-analysis of pareto front for selection the best alternatives", *Journal of Hydraulic Structures*, **6**(3), pp. 59-82 (2020).
33. Raphael, J.M. "Tensile strength of concrete", *ACI Journal Proceedings*, pp. 158-165 (Mar.-Apr., 1984).
34. Cordier M. and Leger, P. "Structural stability of gravity dams: a progressive assessment considering uncertainties in shear strength parameters", *Georisk: Assessment and Management of Risk for Engineered Systems and Geohazards*, **12**(2), pp. 109-122 (2018).
35. Segura, R., Padgett, J.E. and Paultre, P. "Metamodel-based seismic fragility analysis of concrete gravity dams", *Journal of Structural Engineering*, **146**(7), 04020121 (2020).
36. Pourbakhshian, S. and Ghaemian, M. "Shape optimization of arch dams using sensitivity analysis", *KSCCE Journal of Civil Engineering*, **20**(5), pp. 1966-1976 (2016).
37. Pouraminian, M., Pourbakhshian, S. and Hosseini, M.M. "Reliability analysis of Pole Kheshti historical arch bridge under service loads using SFEM", *Journal of Building Pathology and Rehabilitation*, **4**(1), pp. 1-13 (2019).
38. Vrouwenvelder, T. "The JCSS probabilistic model code", *Structural Safety*, **19**(3), pp. 245-251 (1997).